



UNIVERSIDADE FEDERAL DO RIO DE JANEIRO
ESCOLA DE QUÍMICA



EQE776 Modelagem e Simulação de Processos

Aula 03. Modelagem e simulação de reator CSTR não isotérmico

Professor: Roymel Rodríguez Carpio

E-mail: roymel@eq.ufrj.br

Recapitulando

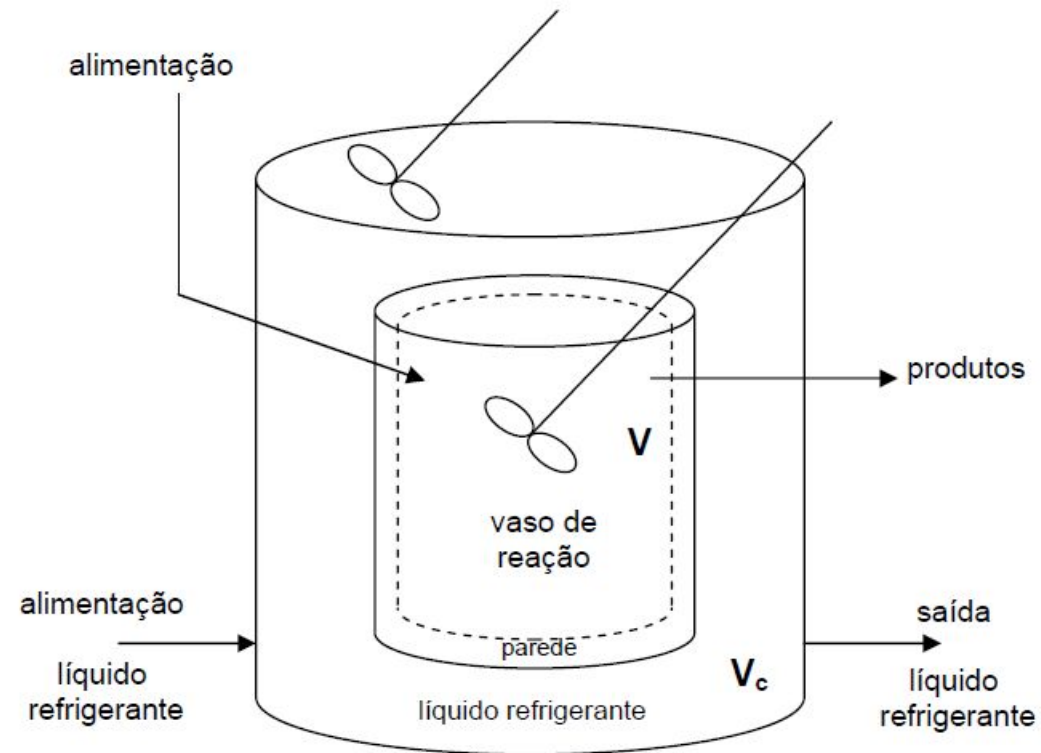
- Modelos lineares e não lineares;
- Modelos determinísticos e estocásticos;
- Modelos estacionários e dinâmicos;
- Modelos concentrados e distribuídos;
- Adimensionamento de modelos;

Temas da aula

- Modelagem e simulação de reator CSTR não isotérmico

Apresentação do problema

Consideremos um CSTR, onde acontece a reação de decomposição do componente A: $A \rightarrow B + C$.



Apresentação do problema

Hipóteses simplificadoras:

- Aplicabilidade das leis físicas, como a conservação da massa e energia ou a lei de Fourier para a condução de calor.
- A mistura é perfeita, pelo que as concentrações (C_j), a temperatura da reação (T) e a temperatura da camisa de resfriamento (T_c), são independentes da posição, embora possam ser função do tempo.
- Os volumes (V) e (V_c); as vazões volumétricas (q e q_c) e as temperaturas das correntes de alimentação (T_f e T_{cf}) são constantes.
- O trabalho realizado pelas palhetas de agitação pode ser ignorado.

Apresentação do problema

Hipóteses simplificadoras:

- A taxa de reação é uma função da concentração do reagente A e da temperatura: $r(C_A, T)$.
- A transferência de calor para os lados interno e externo da parede do reator, sendo as temperaturas de superfície denotadas por T_i e T_o , respectivamente, pode ser descrita por coeficientes de transferência h_i e h_o , de modo que o calor transferido por unidade de área é dado por $h_i(T - T_i)$ e $h_o(T_o - T_c)$, respectivamente.
- A capacidade calorífica da mistura reacional não varia significativamente.

Apresentação do problema

Hipóteses simplificadoras:

- O sistema está em estado estacionário.
- A curvatura da parede é desprezível e suas quinas podem ser ignoradas
- A condutividade térmica da parede é extremamente elevada.
- A capacidade calorífica da parede é desprezível.
- A resposta da camisa de resfriamento é virtualmente instantânea
- A reação é de primeira ordem e irreversível.
- A constante de velocidade segue a equação: $k(T) = k_o e^{-E/RT}$.

Modelagem

Balanço de massa para o reagente A:

$$\left\{ \begin{array}{l} \text{Taxa de acúmulo} \\ \text{de moles de } A_j \\ \text{no reator} \end{array} \right\} = \left\{ \begin{array}{l} \text{Taxa de} \\ \text{alimentação} \\ \text{de } A_j \end{array} \right\} - \left\{ \begin{array}{l} \text{Taxa de} \\ \text{retirada} \\ \text{de } A_j \end{array} \right\} + \left\{ \begin{array}{l} \text{Taxa de formação} \\ \text{ou consumo de} \\ A_j \text{ por reação} \end{array} \right\}$$

$$V \frac{dC_A}{dt} = 0 = qC_{Af} - qC_A - Vr$$

Modelagem

Balanço de energia do conteúdo do reator:

$$\left\{ \begin{array}{c} \text{taxa de} \\ \text{acúmulo} \\ \text{de energia} \\ \text{no reator} \end{array} \right\} = \left\{ \begin{array}{c} \text{calor adicionado} \\ \text{através da} \\ \text{corrente} \\ \text{de alimentação} \end{array} \right\} - \left\{ \begin{array}{c} \text{calor retirado} \\ \text{através da} \\ \text{corrente} \\ \text{de saída} \end{array} \right\} \pm \left\{ \begin{array}{c} \text{calor} \\ \text{gerado} \\ \text{pela} \\ \text{reação} \end{array} \right\} - \left\{ \begin{array}{c} \text{calor} \\ \text{removido pela} \\ \text{camisa de} \\ \text{resfriamento} \end{array} \right\}$$

$$VCp \frac{dT}{dt} = 0 = qCpT_f - qCpT + Vr(-\Delta H_r) - A_i h_i (T - T_i)$$

Modelagem

Balanço de energia da camisa de resfriamento:

$$V_c C p_c \frac{dT_c}{dt} = 0 = q_c C p_c T_{cf} - q_c C p_c T_c + A_o h_o (T_o - T_c)$$

Modelagem

Juntando os balanços de energia do reator e da camisa é possível obter o modelo final:

$$\begin{cases} V \frac{dC_A}{dt} = 0 = qC_{Af} - qC_A - Vr \\ VC_p \frac{dT}{dt} = 0 = qC_p T_f - qC_p T + Vr(-\Delta H_r) - hA(T - T_{cf}) \end{cases}$$

em que:

$$\frac{1}{h} = \frac{A}{q_c C p_c} + \frac{1}{h_0} + \frac{1}{h_i}$$

$$r = k_o e^{-\frac{E}{RT}} C_A$$

Simulação

Determine os valores de C_A e T no estado estacionário conhecendo as seguintes informações:

$$q = 0,1 \frac{\text{m}^3}{\text{h}}; V = 0,1 \text{ m}^3$$

$$k_o = 9703 \cdot 3600 \frac{1}{\text{h}}; -\Delta H_r = 5960 \frac{\text{kcal}}{\text{kmol}}$$

$$E = 11843 \frac{\text{kcal}}{\text{kmol}}; C_p = 500 \frac{\text{kcal}}{\text{m}^3 \cdot \text{K}}$$

$$hA = 15 \frac{\text{kcal}}{\text{h} \cdot \text{K}}; R = 1,987 \frac{\text{kcal}}{\text{kmol} \cdot \text{K}}$$

$$T_{cf} = 290 \text{ K}; T_f = 300 \text{ K}$$

$$C_{Af} = 10 \frac{\text{kmol}}{\text{m}^3}$$

Simulação

Ver solução estacionária em EMSO!

```
1 using "types";
2
3 Model cstr_ss
4
5   PARAMETERS
6     q as positive (Unit='m^3/h');
7     V as positive (Unit='m^3');
8     ko as positive (Unit='1/h');
9     DH as positive (Unit='kcal/kmol');
10    E as positive (Unit='kcal/kmol');
11    Cp as positive (Unit='kcal/(m^3*K)');
12    hA as positive (Unit='kcal/(h*K)');
13    R as positive (Unit='kcal/(kmol*K)');
14    Tcf as positive (Unit='K');
15    Tf as positive (Unit='K');
16    CAf as positive (Unit='kmol/m^3');
17
18   VARIABLES
19     CA as positive (Unit='kmol/m^3');
20     T as positive (Unit='K');
21
22   EQUATIONS
23
24     0*'kmol/h' = q*CAf - q*CA - V*ko*exp(-E/(R*T))*CA;
25     0*'kcal/h' = q*Cp*Tf - q*Cp*T + V*ko*exp(-E/(R*T))*CA*DH - hA*(T-Tcf);
26
27 end
```

```
29 FlowSheet CSTR_ss
30
31   DEVICES
32     CSTR as cstr_ss;
33
34   SET
35     CSTR.q = 0.1*'m^3/h';
36     CSTR.V = 0.1*'m^3';
37     CSTR.ko = 9703*3600*'1/h';
38     CSTR.DH = 5960*'kcal/kmol';
39     CSTR.E = 11843*'kcal/kmol';
40     CSTR.Cp = 500*'kcal/(m^3*K)';
41     CSTR.hA = 15*'kcal/(h*K)';
42     CSTR.R = 1.987*'kcal/(kmol*K)';
43     CSTR.Tcf = 290*'K';
44     CSTR.Tf = 300*'K';
45     CSTR.CAf = 10*'kmol/m^3';
46
47   GUESS
48     CSTR.T = 350*'K'; #Testar com 300 K, 350 K e 380 K
49
50   OPTIONS
51     Dynamic = false;
52
53 end
```

Simulação

O sistema apresenta múltiplos estados estacionários:

- Estado estacionário 1: $T = 310,204 \text{ K}$ e $CA = 8,63545$
- Estado estacionário 2: $T = 340,866 \text{ K}$ e $CA = 5,29150$
- Estado estacionário 3: $T = 366,882 \text{ K}$ e $CA = 2,45418$

Como conferir a existência desses três estados estacionários?

Simulação

Para isso vamos arranjar as equações de forma tal que nos permitam verificar graficamente os três estados estacionários encontrados.

Primeiramente, vamos explicitar a concentração do balanço de massa:

$$\begin{aligned}0 &= qC_{Af} - qC_A - Vr \\0 &= qC_{Af} - qC_A - Vk_o e^{-\frac{E}{RT}} C_A \\0 &= qC_{Af} - (q + Vk_o e^{-\frac{E}{RT}})C_A \\qC_{Af} &= (q + Vk_o e^{-\frac{E}{RT}})C_A \\C_A &= \frac{qC_{Af}}{(q + Vk_o e^{-\frac{E}{RT}})}\end{aligned}$$

Simulação

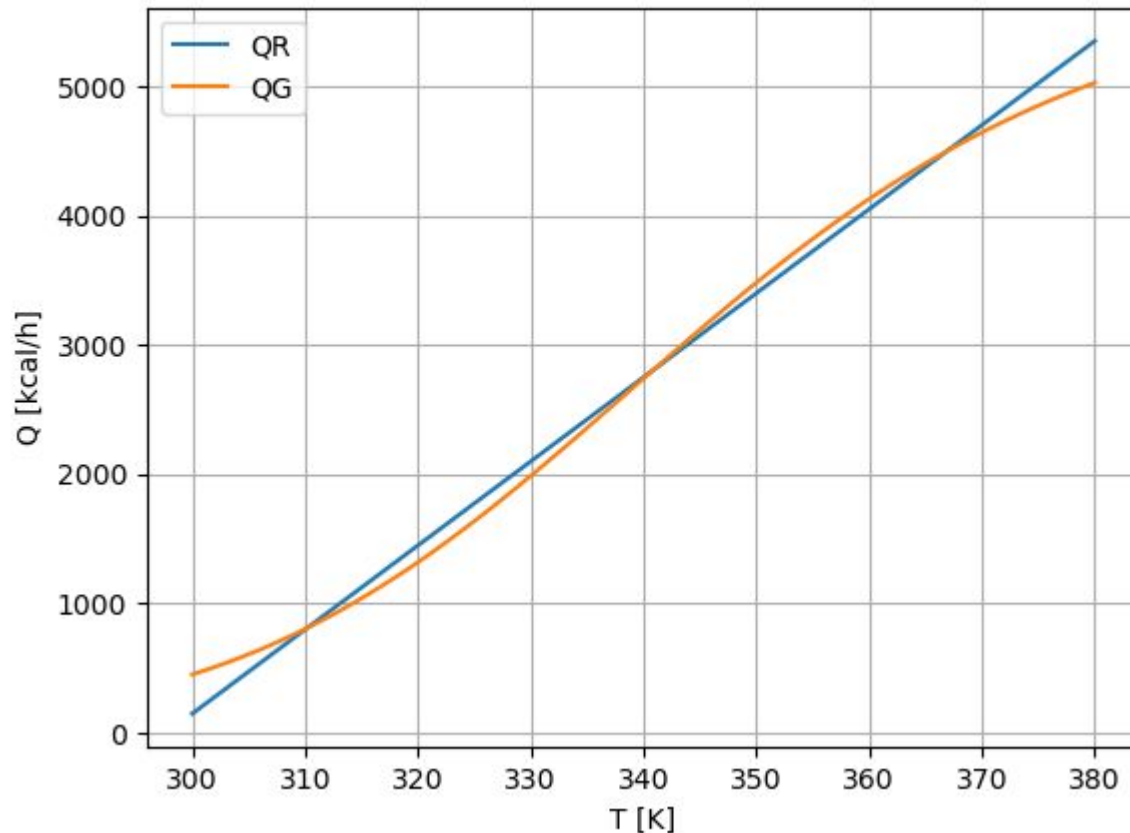
Agora vamos separar o balanço de energia em calor removido (QR) e calor gerado (QG). No estado estacionário o calor removido será igual ao calor gerado, mantendo assim a temperatura constante no reator.

$$0 = qC_pT_f - qC_pT + Vr(-\Delta H_r) - hA(T - T_{cf})$$

$$\underbrace{qC_pT - qC_pT_f + hA(T - T_{cf})}_{\text{QR}} = \underbrace{V(-\Delta H_r)k_o e^{-\frac{E}{RT}} C_A}_{\text{QG}}$$
$$QR = qC_pT - qC_pT_f + hA(T - T_{cf})$$
$$QG = V(-\Delta H_r)k_o e^{-\frac{E}{RT}} \left(\frac{qC_{Af}}{(q + Vk_o e^{-\frac{E}{RT}})} \right)$$

Simulação

Tanto QR quanto QG dependem somente da temperatura, pelo que podemos fazer um gráfico de T vs. Q. (Ver código em Python!)



As curvas de QR e QG interceptam-se em três pontos, constituídos pelos três estados estacionários encontrados em EMSO.

Vamos verificar com EMSO a existência desses três estados estacionários utilizando o modelo dinâmico.

Simulação

Ver solução dinâmica em EMSO!

```
55 Model cstr_din
```

PARAMETERS

```
58 q as positive (Unit='m^3/h');
59 V as positive (Unit='m^3');
60 ko as positive (Unit='1/h');
61 DH as positive (Unit='kcal/kmol');
62 E as positive (Unit='kcal/kmol');
63 Cp as positive (Unit='kcal/(m^3*K)');
64 hA as positive (Unit='kcal/(h*K)');
65 R as positive (Unit='kcal/(kmol*K)');
66 Tcf as positive (Unit='K');
67 Tf as positive (Unit='K');
68 CAf as positive (Unit='kmol/m^3');
```

VARIABLES

```
71 CA as positive (Unit='kmol/m^3');
72 T as positive (Unit='K');
```

EQUATIONS

```
76 V*diff(CA) = q*CAf - q*CA - V*ko*exp(-E/(R*T))*CA;
77 V*Cp*diff(T) = q*Cp*Tf - q*Cp*T + V*ko*exp(-E/(R*T))*CA*DH - hA*(T-Tcf);
78
79 end
```

```
82 FlowSheet CSTR_din
```

DEVICES

```
85 CSTR as cstr_din;
```

SET

```
88 CSTR.q = 0.1*'m^3/h';
89 CSTR.V = 0.1*'m^3';
90 CSTR.ko = 9703*3600*'1/h';
91 CSTR.DH = 5960*'kcal/kmol';
92 CSTR.E = 11843*'kcal/kmol';
93 CSTR.Cp = 500*'kcal/(m^3*K)';
94 CSTR.hA = 15*'kcal/(h*K)';
95 CSTR.R = 1.987*'kcal/(kmol*K)';
96 CSTR.Tcf = 290*'K';
97 CSTR.Tf = 300*'K';
98 CSTR.CAf = 10*'kmol/m^3';
```

INITIAL

```
101 CSTR.CA = 0*'kmol/m^3';
102 CSTR.T = 300*'K'; #Testar com 300 K, 320 K, 340 K, 360 K, 380 K, e 400 K
```

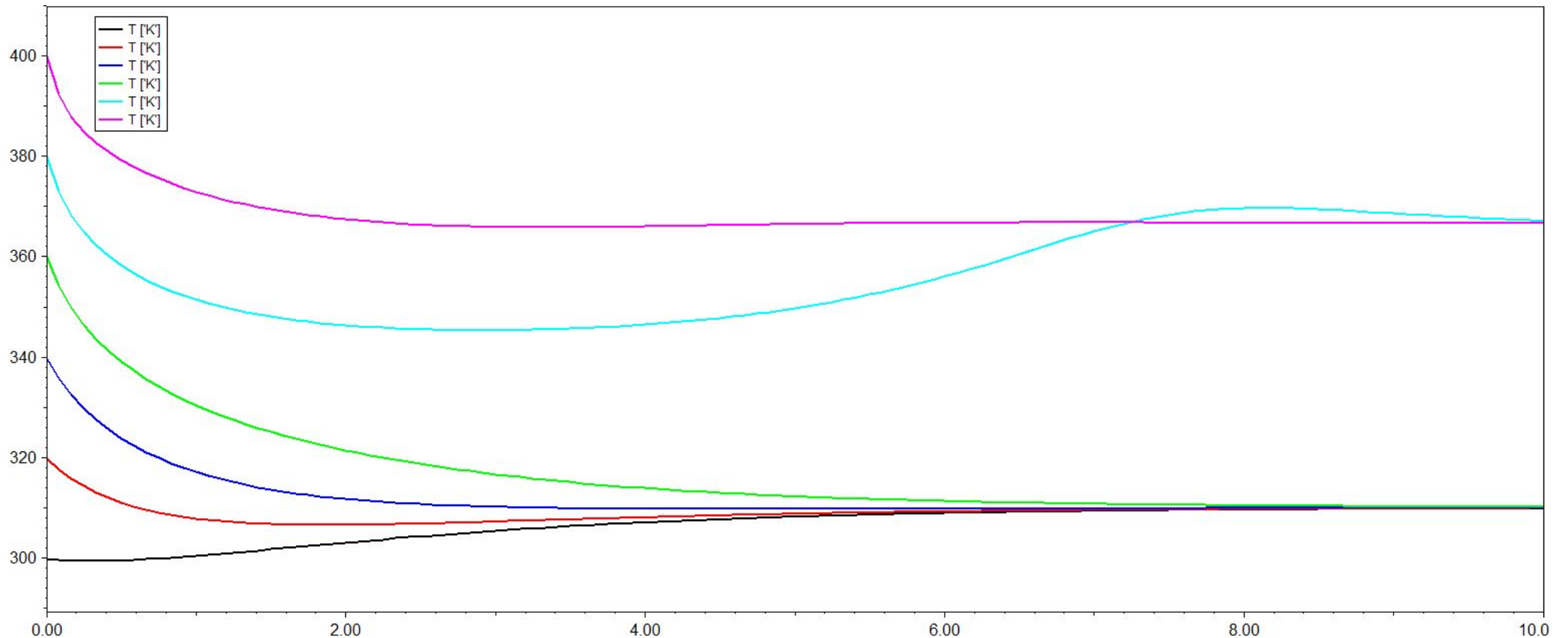
OPTIONS

```
105 Dynamic = true;
106 TimeUnit = 'h';
107 TimeStart = 0;
108 TimeStep = 5/60;
109 TimeEnd = 10;
```

```
111 end
```

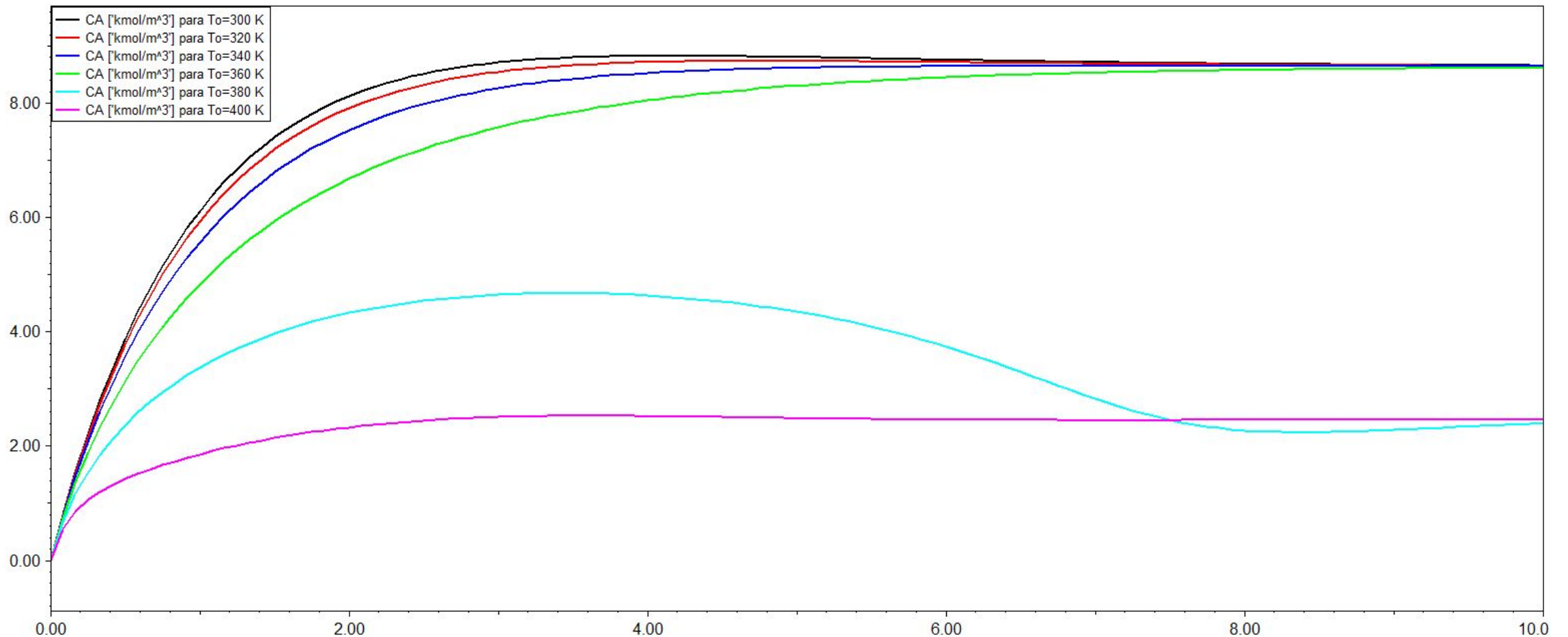
Simulação

Simulação dinâmica utilizando diferentes condições iniciais para a temperatura do reator.



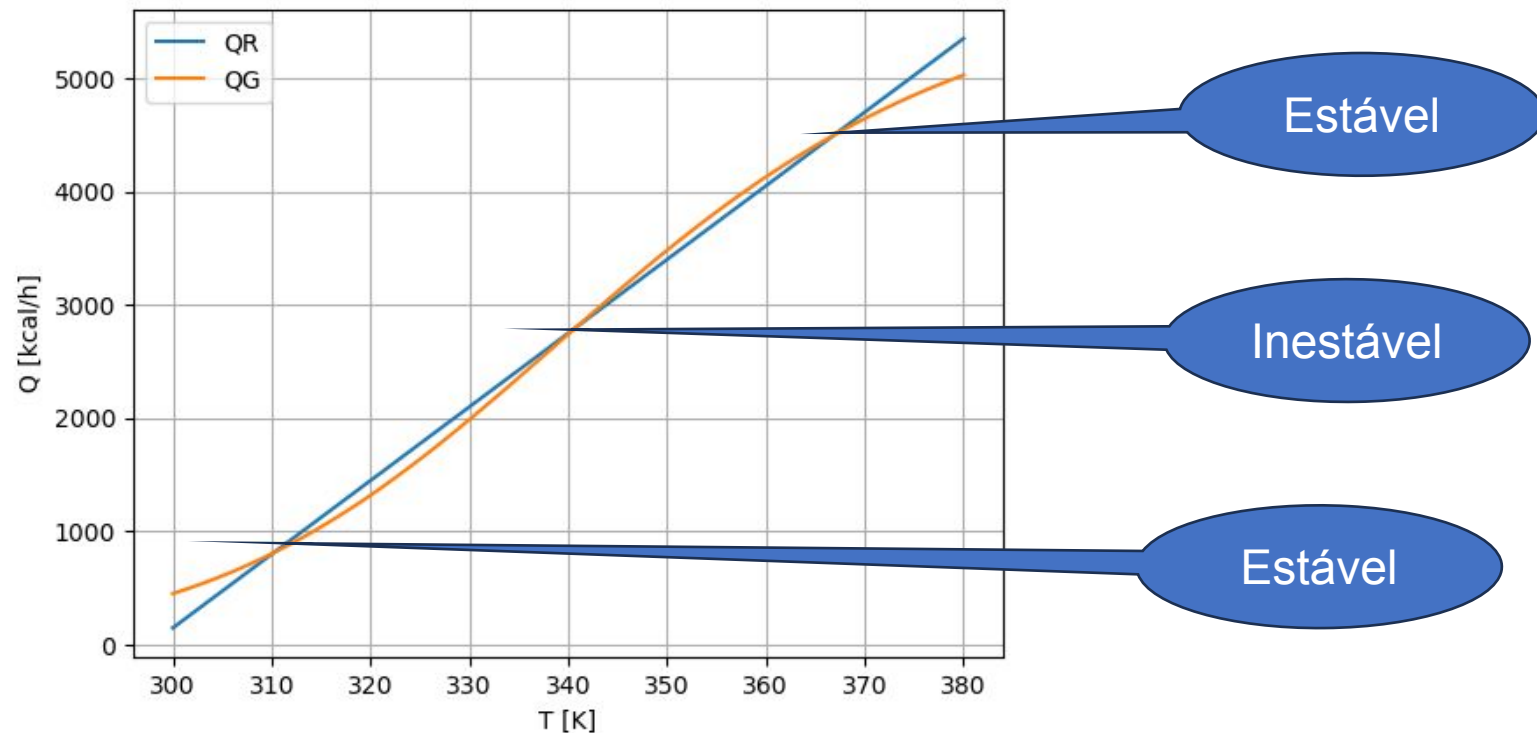
Simulação

Simulação dinâmica utilizando diferentes condições iniciais para a temperatura do reator.



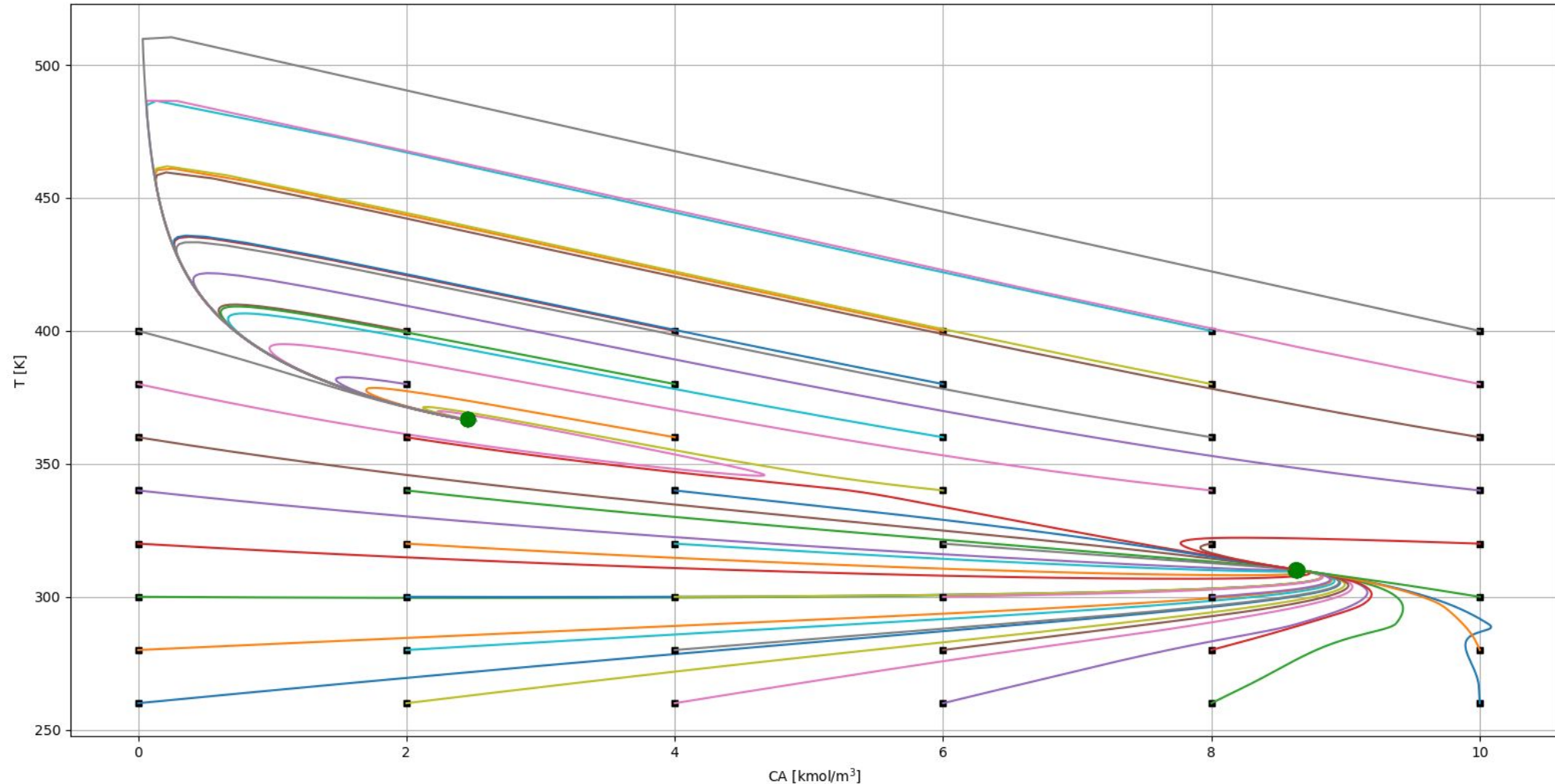
Simulação

Percebe-se que as simulações levaram somente a dois estados dos três estados estacionários encontrados. Embora, não seja possível garantir com apenas estas simulações, aparentemente o estado estacionário com temperatura perto de 340 K é não estável.



Simulação

Isso pode ser melhor observado no “Diagrama de espaço de estados”.
(Ver código em Python!)



Adimensionamento do modelo

Lembrando o modelo:

$$V \frac{dC_A}{dt} = qC_{Af} - qC_A - V k_o e^{-\frac{E}{RT}} C_A$$

$$VC_p \frac{dT}{dt} = qC_p T_f - qC_p T + V k_o e^{-\frac{E}{RT}} C_A (-\Delta H_r) - hA(T - T_{cf})$$

O modelo apresenta duas variáveis de estado (C_A e T), quatro variáveis de entrada (q , C_{Af} , T_f , T_{cf}) e oito parâmetros (V , k_o , C_p , E , R , $-\Delta H_r$, h , A).

Vamos chamar $k(T) = k_o e^{-\frac{E}{RT}}$

Adimensionamento do modelo

Para começar são escolhidos os valores da concentração e da temperatura de referência.

Se a condição da corrente de alimentação ao reator permanecer constante durante a análise, geralmente são escolhidos esses valores.

Em problemas envolvendo equilíbrio químico, concentrações de equilíbrio podem ser utilizadas.

Vamos a chamar C^* e T^* aos valores de referencia a serem utilizados para o adimensionamento.

Adimensionamento do modelo

Vamos a dividir o balanço de massa por qC^* e o balanço de energia por $qCpT^*$:

$$\frac{V}{q} \frac{d}{dt} \left(\frac{dC_A}{C^*} \right) = \frac{C_{Af}}{C^*} - \frac{C_A}{C^*} - \frac{V}{q} k(T^*) \frac{k(T)}{k(T^*)} \frac{C_A}{C^*}$$

$$\frac{V}{q} \frac{d}{dt} \left(\frac{dT}{T^*} \right) = \frac{T_f}{T^*} - \frac{T}{T^*} + \frac{V}{q} \frac{(-\Delta H_r) C^*}{CpT^*} k(T^*) \frac{k(T)}{k(T^*)} \frac{C_A}{C^*} - \frac{hA}{qCp} \left(\frac{T}{T^*} - \frac{T_{cf}}{T^*} \right)$$

Adimensionamento do modelo

Trabalhando a expressão $\frac{k(T)}{k(T^*)}$:

$$\frac{k(T)}{k(T^*)} = \frac{k_o e^{-\frac{E}{RT}}}{k_o e^{-\frac{E}{RT^*}}} = e^{-\frac{E}{RT^*} \left(\frac{T^*}{T} - 1 \right)}$$

Definindo novas variáveis e parâmetros adimensionais:

$$u = \frac{C_A}{C^*}; v = \frac{T}{T^*}; v_f = \frac{T_f}{T^*}; v_{cf} = \frac{T_{cf}}{T^*}; \theta = \frac{V}{q}; \tau = \frac{t}{\theta};$$
$$B = \frac{(-\Delta H)C^*}{C_p T^*}; Da = \theta k(T^*); \beta = \frac{hA}{q C_p}; \gamma = \frac{E}{RT^*}$$

Adimensionamento do modelo

Finalmente o modelo adimensionado fica:

$$\begin{aligned}\frac{du}{d\tau} &= (u_f - u) - Da u e^{\gamma(1-\frac{1}{v})} \\ \frac{dv}{d\tau} &= (v_f - v) + B Da u e^{\gamma(1-\frac{1}{v})} - \beta(v - v_{cf})\end{aligned}$$

- Percebe-se a analogia entre os balanços de massa e energia.
- O modelo adimensional tem duas variáveis de estado (u e v), três variáveis de entrada (u_f , v_f , v_{cf}) e quatro parâmetros (Da , B , γ e β).
- Se a C^* e T^* forem convenientemente escolhidas como aquelas da corrente de alimentação, então $u_f = v_f = 1$, e o sistema passa a ter apenas uma variável de entrada (v_{cf}).

Dúvidas?



Recados importantes

- Próxima aula: Modelagem e simulação de reator PFR não isotérmico
- Os slides desta aula estarão disponíveis no Classroom da disciplina.

“Ensinar não é transferir conhecimento, mas criar as possibilidades para a sua própria produção ou a sua construção.”

Paulo Freire